

УДК 535.32+535.34

ОПТИЧЕСКИЕ СВОЙСТВА СПЛАВОВ НИКЕЛЬ—ХРОМ В ОБЛАСТИ СПЕКТРА ОТ 250 ДО 1100 нм

Н. Я. Горбань, В. С. Сташук, П. В. Петренко
и А. А. Шишловский

В области спектра от 250 до 1100 нм методом Битти измерены оптические постоянные сплава никель—хром с содержанием 5, 8, 15 и 32.5 ат. % хрома при комнатной температуре. Показано, что в случае сплавов никель—хром ни одна из существующих моделей (виртуального состояния, жесткой полосы) не может объяснить экспериментально полученных зависимостей $R(\hbar\omega)$, $\varepsilon(\hbar\omega)$, $\sigma(\hbar\omega)$ в широком интервале концентраций хрома.

Экспериментальные сведения об оптических характеристиках металлов и сплавов позволяют определить положение и размеры тех областей спектра, где имеют место внутризонные и межзонные переходы. В то же время на основании результатов оптических исследований сплавов можно получить некоторую информацию об особенностях электронного спектра, если известен электронный спектр основы. Практически последнее реализуется в случае сплавов на основе никеля. Сведения об электронной структуре ферромагнитного никеля, в частности, результаты теоретических расчетов [1–3] и наличие конкретных моделей [4, 5] его энергетических полос могут служить основой при рассмотрении вопроса об особенностях электронной структуры сплавов никеля с другими металлами. Отметим, что изучение оптических свойств сплавов позволяет не только получить значения конкретных оптических характеристик сплавов, но и уточнить природу оптического спектра основы.

Нами исследованы при комнатной температуре в области 1.1–4.9 эв оптические свойства упорядоченных сплавов никель—хром с концентрациями 5, 8, 15 и 32.5 ат. % последнего. Необходимо отметить, что при малых концентрациях хрома эти сплавы исследовались ранее [6] лишь в видимой области спектра.

Сплавы были получены в атмосфере аргона и подвергнуты гомогенизирующему отжигу при 1300° С в течение 10 час. Зеркальные поверхности приготавливались механическим способом с последующим отжигом при температуре 450° С в течение 3 час. в вакууме $5 \cdot 10^{-6}$ мм рт. ст.

Оптические постоянные n (показатель преломления) и \times (показатель поглощения) сплавов, а также чистых никеля и хрома измерялись поляриметрическим методом [7] при углах падения от 70 до 80°. Погрешность в измерении n и \times составляла 1–2 %.

Результаты измерений n и \times сплавов никель—хром с содержанием последнего 5, 8, 15 и 32.5 ат. %, а также чистого хрома приведены в таблице. Полученные нами значения n и \times для никеля согласуются с [4, 8]. Для хрома n практически совпадают, а \times несколько выше, чем в [9].

Для качественной оценки процессов поглощения были вычислены значения отражательной способности R при нормальном падении. На рис. 1 приведены кривые отражательной способности $R(\hbar\omega)$ сплавов, а также никеля и хрома. В области 1.1–2.4 эв кривые всех изученных сплавов практически совпадают с аналогичной кривой для чистого никеля. Такое поведе-

Оптические постоянные n и χ хрома и сплавов никель—хром

| $\lambda, \text{ \AA}$ | 5% Cr | | 8% Cr | | 15% Cr | | 32.5% Cr | | Cr | |
|------------------------|-------|--------|-------|--------|--------|--------|----------|--------|------|--------|
| | n | χ | n | χ | n | χ | n | χ | n | χ |
| 2537 | 1.29 | 2.19 | 1.35 | 2.07 | 1.49 | 1.97 | 1.02 | 1.89 | 0.75 | 1.96 |
| 2652 | 1.40 | 2.16 | 1.40 | 2.04 | 1.27 | 1.99 | 1.07 | 1.94 | 0.77 | 2.11 |
| 2699 | 1.43 | 2.17 | 1.44 | 2.10 | 1.29 | 1.96 | 1.12 | 2.03 | 0.79 | 2.17 |
| 2753 | 1.47 | 2.15 | 1.45 | 2.02 | 1.31 | 1.98 | — | — | 0.80 | 2.20 |
| 2804 | 1.49 | 2.12 | 1.51 | 1.98 | 1.31 | 1.99 | 1.12 | 2.02 | 0.82 | 2.25 |
| 2894 | 1.47 | 2.12 | 1.49 | 2.01 | 1.34 | 2.00 | 1.11 | 2.06 | 0.80 | 2.35 |
| 2967 | 1.47 | 2.12 | 1.49 | 1.98 | 1.34 | 2.00 | 1.08 | 2.08 | — | — |
| 3022 | 1.48 | 2.10 | 1.52 | 2.00 | 1.34 | 1.98 | 1.07 | 2.12 | 0.88 | 2.44 |
| 3126 | 1.45 | 2.14 | 1.46 | 2.03 | 1.30 | 2.05 | 1.14 | 2.14 | 0.91 | 2.52 |
| 3341 | 1.41 | 2.22 | 1.41 | 2.10 | 1.27 | 2.11 | 1.14 | 2.26 | 1.00 | 2.72 |
| 3650 | 1.39 | 2.39 | 1.39 | 2.23 | 1.19 | 2.43 | 1.17 | 2.45 | 1.14 | 2.88 |
| 4047 | 1.38 | 2.63 | 1.40 | 2.44 | 1.29 | 2.65 | 1.23 | 2.74 | 1.24 | 3.17 |
| 4358 | 1.43 | 2.81 | 1.47 | 2.63 | 1.33 | 2.68 | 1.30 | 2.99 | 1.36 | 3.44 |
| 4550 | 1.45 | 2.97 | 1.45 | 2.86 | 1.40 | 2.81 | 1.43 | 3.14 | 1.54 | 3.66 |
| 4700 | 1.51 | 3.08 | 1.50 | 2.95 | 1.44 | 2.87 | 1.53 | 3.23 | 1.66 | 3.75 |
| 4800 | 1.54 | 3.13 | 1.51 | 3.00 | 1.46 | 3.03 | 1.58 | 3.25 | 1.80 | 3.82 |
| 4900 | 1.53 | 3.18 | 1.52 | 3.02 | 1.43 | 2.99 | 1.61 | 3.37 | 1.86 | 3.84 |
| 5000 | 1.55 | 3.22 | 1.55 | 3.07 | 1.50 | 3.42 | 1.63 | 3.37 | 1.93 | 3.88 |
| 5100 | 1.56 | 3.25 | 1.54 | 3.10 | 1.54 | 3.45 | 1.71 | 3.46 | 2.01 | 3.90 |
| 5200 | 1.60 | 3.32 | 1.60 | 3.18 | 1.54 | 3.18 | 1.69 | 3.48 | 2.06 | 3.93 |
| 5300 | 1.63 | 3.38 | 1.64 | 3.17 | 1.55 | 3.22 | 1.74 | 3.48 | 2.13 | 3.92 |
| 5450 | 1.64 | 3.45 | 1.62 | 3.27 | 1.59 | 3.30 | 1.78 | 3.60 | 2.22 | 3.95 |
| 5600 | 1.65 | 3.51 | 1.66 | 3.32 | 1.60 | 3.38 | 1.88 | 3.69 | 2.34 | 3.94 |
| 5750 | 1.72 | 3.66 | 1.69 | 3.42 | 1.69 | 3.43 | 1.89 | 3.76 | 2.40 | 3.98 |
| 5900 | 1.80 | 3.74 | 1.70 | 3.46 | 1.70 | 3.48 | 1.94 | 3.83 | 2.53 | 4.05 |
| 6000 | 1.79 | 3.77 | 1.73 | 3.50 | 1.73 | 3.55 | 1.97 | 3.90 | 2.58 | 4.05 |
| 6100 | 1.82 | 3.87 | 1.74 | 3.57 | 1.73 | 3.57 | 2.02 | 3.94 | 2.62 | 4.05 |
| 6200 | 1.84 | 3.88 | 1.77 | 3.59 | 1.78 | 3.62 | 2.04 | 3.96 | 2.67 | 4.07 |
| 6400 | 1.88 | 3.99 | 1.84 | 3.68 | 1.80 | 3.72 | 2.07 | 4.04 | 2.72 | 4.06 |
| 6600 | 1.93 | 4.04 | 1.88 | 3.97 | 1.84 | 3.77 | 2.11 | 4.02 | 2.81 | 4.11 |
| 6750 | 1.97 | 4.10 | 1.88 | 3.82 | 1.87 | 3.84 | 2.15 | 4.06 | 2.87 | 4.11 |
| 6900 | 1.99 | 4.20 | 1.94 | 3.92 | 1.91 | 3.92 | 2.18 | 4.22 | 2.93 | 4.15 |
| 7200 | 2.06 | 4.34 | 2.01 | 4.05 | 1.98 | 4.10 | 2.34 | 4.30 | 3.03 | 4.17 |
| 7500 | 2.15 | 4.49 | 2.05 | 4.14 | 2.01 | 4.20 | 2.44 | 4.48 | 3.15 | 4.22 |
| 7800 | 2.22 | 4.61 | 2.10 | 4.27 | 2.08 | 4.34 | 2.53 | 4.56 | 3.23 | 4.22 |
| 8100 | 2.27 | 4.72 | 2.16 | 4.40 | 2.13 | 4.45 | 2.60 | 4.80 | 3.32 | 4.25 |
| 8400 | 2.36 | 4.86 | 2.21 | 4.51 | 2.16 | 4.55 | 2.71 | 4.96 | 3.37 | 4.28 |
| 8800 | 2.35 | 4.97 | 2.25 | 4.62 | 2.20 | 4.65 | 2.82 | 5.10 | 3.44 | 4.31 |
| 9200 | 2.47 | 5.10 | 2.29 | 4.74 | 2.20 | 4.76 | 2.92 | 5.23 | 3.51 | 4.30 |
| 9550 | 2.43 | 4.15 | 2.34 | 4.78 | 2.27 | 4.81 | 2.93 | 5.27 | 3.55 | 4.33 |
| 10000 | 2.45 | 5.21 | 2.32 | 4.84 | 2.30 | 4.90 | 3.00 | 5.43 | 3.58 | 4.33 |
| 10450 | 2.50 | 5.34 | 2.37 | 4.99 | 2.36 | 5.04 | 3.07 | 5.47 | 3.63 | 4.36 |
| 10750 | 2.51 | 5.38 | 2.43 | 5.09 | 2.42 | 5.15 | 3.14 | 5.57 | 3.62 | 4.37 |
| 11000 | 2.53 | 5.46 | 2.48 | 5.25 | 2.44 | 5.29 | 3.22 | 5.66 | 3.62 | 4.36 |

ние кривых $R(\hbar\omega)$ является характерной особенностью сплавов никель—хром до концентраций 32.5% последнего. Характерно также, что на кривых отражательной способности сплавов минимумы практически не смещаются по шкале энергий и совпадают с минимумом $R(\hbar\omega)$ никеля, расположенным при $4.1 \div 4.2$ эв (см. вставку на рис. 1).

Полученные данные свидетельствуют о том, что в сплавах никель—хром вплоть до концентраций 32.5% хрома край поглощения практически не сдвигается. Край же поглощения хрома расположен, согласно [10], при 0.2—0.8 эв.

Дисперсионные зависимости диэлектрической проницаемости $\epsilon = n^2 - \chi^2$ сплавов вдали от резонансных частот дают дополнительную информацию об изменении характера поглощения свободными носителями. Из рис. 2 следует, что характер поглощения свободными носителями в сплавах не изменяется в области $1 \div 2$ эв (кривые для сплавов и чистого никеля практически совпадают).

О междузонном поглощении наиболее полную информацию дают дисперсионные зависимости высокочастотной проводимости $\sigma = n\chi\nu$ (ν — ча-

стота света), приведенные на рис. 3 для никеля, хрома и их сплавов с содержанием 5, 8, 15 и 32.5% хрома. Масштаб слева относится ко всем образцам, за исключением хрома, а масштаб справа — к чистому хрому.

В области $1.1 \div 4.9$ эв на дисперсионной кривой σ хрома проявляется интенсивная полоса с максимумом при $2.1 \div 2.6$ эв. Не исключено, что она является сложной. На дисперсионной кривой σ никеля наблюдается две полосы с максимумами при 4.7 и 1.45 эв и две слабые аномалии при $2.1 \div 2.2$ и $2.5 \div 2.6$ эв. Поведение их в сплавах никель—хром различно. Аномалия при $2.1 \div 2.2$ эв практически исчезает при добавлении 5% хрома и в остальных сплавах не проявляется. Зато в сплаве с содержанием

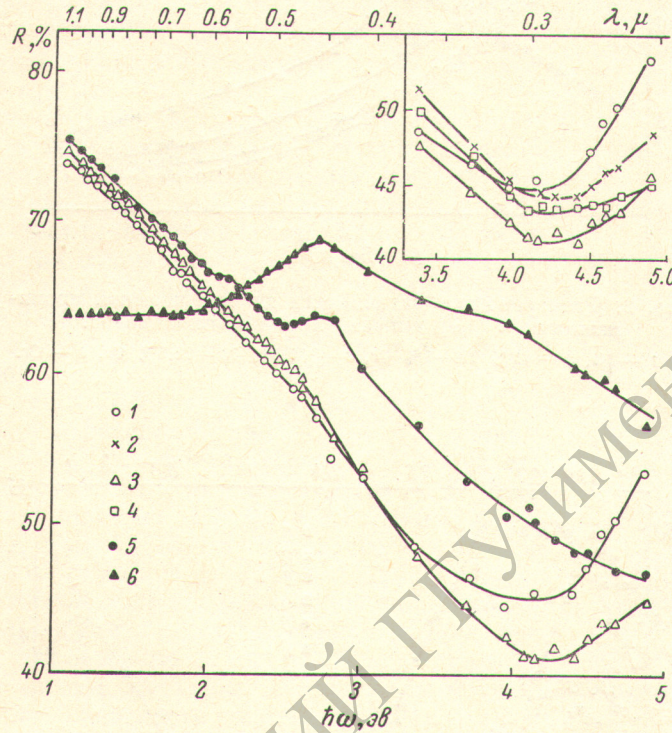


Рис. 1. Отражательная способность $R(\hbar\omega)$ никеля, хрома и их сплавов.

1 — Ni, 2 — 95% Ni—5% Cr, 3 — 92% Ni—8% Cr, 4 — 85% Ni—15% Cr, 5 — 67.5% Ni—32.5% Cr, 6 — Cr.

32.5% хрома появляется особенность, присущая чистому хруму, в виде четко выраженного максимума при 2.0 эв. Аномалия при $2.5 \div 2.6$ эв наблюдается во всех сплавах, хотя участок дисперсионной кривой σ в области этой аномалии все более сглаживается при увеличении концентрации хрома. Максимум при 1.45 эв очень устойчив в сплавах никель—хром, если и происходит его смещение, то в небольших пределах. Значение σ в максимуме сначала падает вплоть до концентраций хрома равных 15%, а затем увеличивается. Коротковолновый максимум вблизи 4.7 эв на дисперсионной кривой σ чистого никеля смещается на 0.15 эв в длинноволновую область спектра при добавлении 5% хрома, а затем практически не смещается при дальнейшем увеличении концентрации хрома. Значение σ в максимуме монотонно уменьшается с увеличением концентрации хрома. В сплаве с содержанием 32.5% хрома этот максимум еле заметен.

Таким образом, поведение особенностей на кривых высокочастотной проводимости при малых концентрациях хрома (исчезновение особенности при $2.5 \div 2.5$ эв, сдвиг максимума при 4.7 эв) позволяет утверждать, что в области малых концентраций хрома (до 5%) к этим сплавам можно применить модель жесткой полосы. Независимость же края поглощения от концентрации хрома и стабильность собственных частот в сплавах никель—

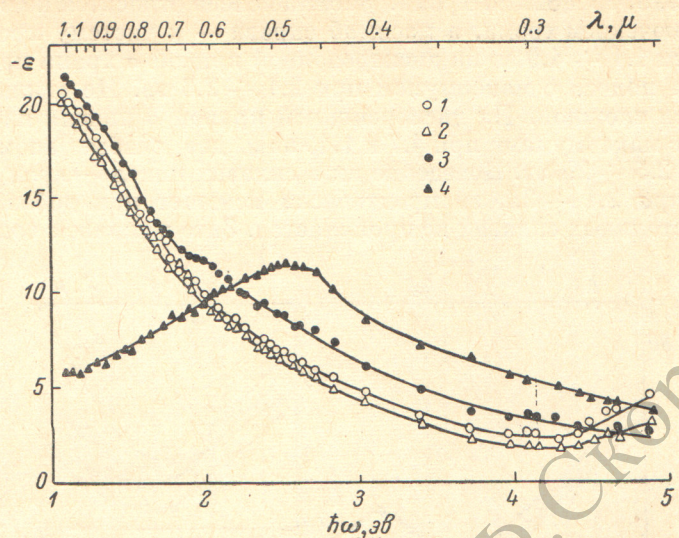


Рис. 2. Дисперсионные зависимости диэлектрической проницаемости $\epsilon(\hbar\omega)$ никеля, хрома и их сплавов.

1 — Ni, 2 — 92% Ni—8% Cr, 3 — 67.5% Ni—32.5% Cr, 4 — Cr.

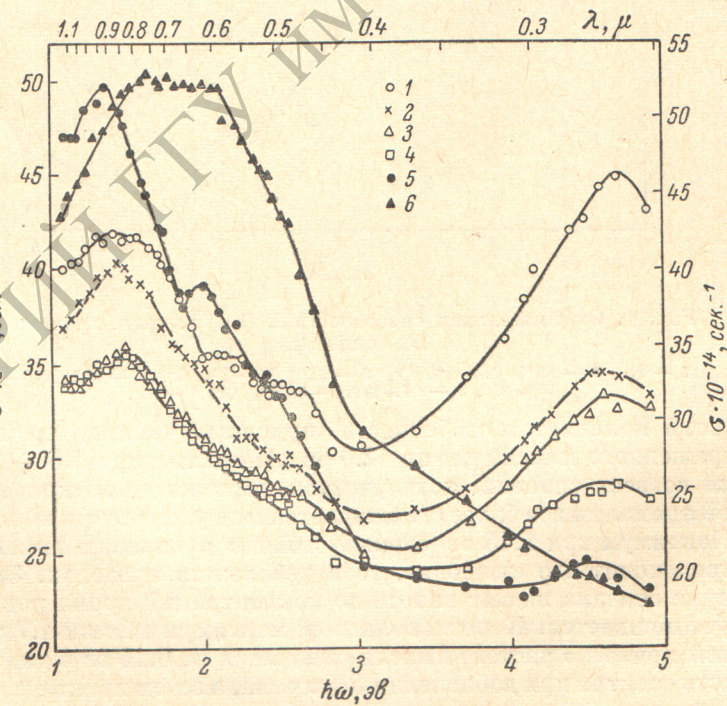


Рис. 3. Дисперсионные зависимости высокочастотной проводимости $\sigma(\hbar\omega)$ никеля, хрома и их сплавов.

1 — Ni, 2 — 95% Ni—5% Cr, 3 — 92% Ni—8% Cr, 4 — 85% Ni—15% Cr, 5 — 67.5% Ni—32.5% Cr, 6 — Cr. Масштаб справа относится к чистому хрому, а слева — ко всем остальным образцам.

хром при концентрациях хрома больше 5% показывает, что модель жесткой зоны не может объяснить экспериментальных кривых $R(\hbar\omega)$ и $\sigma(\hbar\omega)$ в широком интервале концентраций хрома. Косвенным аргументом в пользу высказанного утверждения может служить тот факт, что хром плохо растворяется в никеле [11], а значит, согласно [12], в этих сплавах не может образовываться единая d -полоса проводимости при концентрациях хрома больше 5%.

Ценную информацию об энергетическом спектре дает поведение тех особенностей на дисперсионной кривой σ , которые связаны с переходами из состояний, лежащих ниже уровня Ферми, на состояния, лежащие вблизи уровня Ферми, или же из состояний вблизи уровня Ферми в выше-лежащие. В случае никеля примерами таких особенностей являются максимум около 4.7 эв и аномалия при $2.1 \div 2.2$ эв.

Максимум около 4.7 эв ранее нами был отождествлен с переходом $L_1' \uparrow \rightarrow L_3 \uparrow$ вблизи точки L зоны Бриллюэна. Согласно модели жесткой полосы, добавка хрома должна приводить к сдвигу уровня Ферми (понижению), так как электронная концентрация хрома ($n=6$) меньше, чем никеля ($n=10$), а значит, переходы типа $L_1' \uparrow \rightarrow L_3 \uparrow$ будут начинаться при меньших энергиях фотонов. Последнее наблюдается при добавлении в никель 5% хрома.

Аномалия при $2.1 \div 2.2$ эв была нами отождествлена с переходами типа $X_2 \downarrow \rightarrow X'_4 \downarrow$ вблизи точки X зоны Бриллюэна. На рис. 4 показаны энергетические зоны в окрестности точки X зоны Бриллюэна, согласно [1, 3, 5], и возможные переходы. Так как $X_2 \downarrow$ почти совпадает с уровнем Ферми [5], то переходы типа $X_2 \downarrow \rightarrow X'_4 \downarrow$, согласно модели жесткой полосы, должны исчезать в сплавах никель—хром при малых концентрациях последнего. Эта особенность уже не наблюдается при добавке в никель 5% хрома. Согласно же модели виртуального связанных состояний [13, 14], нельзя было бы объяснить ее исчезновение.

Устойчивость максимума при $1.5 \div 1.6$ эв не противоречит высказанной точке зрения. Так как он связан с переходами типа $W_1 \downarrow \rightarrow W'_1 \downarrow$ в точке W зоны Бриллюэна [5] и уровень $W_1 \downarrow$ находится намного ниже уровня Ферми [1-5], то понижение последнего не должно сказываться на положении этого максимума.

Связав аномалию при $2.1 \div 2.2$ эв с переходами типа $X_2 \downarrow \rightarrow X'_4 \downarrow$, логично аномалию при $2.5 \div 2.6$ эв отождествить с переходами типа $X_2 \uparrow \rightarrow X'_4 \uparrow$ (рис. 4). Эта аномалия, согласно модели жесткой полосы, не должна сдвигаться в сплавах никель—хром при малых концентрациях хрома. Если такая интерпретация верна, то, считая обменное расщепление s, p -состояний малым по сравнению с расщеплением d -состояний [15], можно экспериментально оценить обменное расщепление $3d$ -состояний

$$E(X_2 \downarrow) - E(X_2 \uparrow) \approx [E(X'_4 \uparrow) - E(X_2 \uparrow)] - [E(X'_4 \downarrow) - E(X_2 \downarrow)] = 0.4 \text{ эв.}$$

Полученное значение согласуется с [15], где обменное расщепление $3d$ -состояний оценивается в 0.5 эв.

Модель жесткой полосы не применима к сплавам никель—хром при концентрациях хрома больше 5%. Большая устойчивость высокоэнергетического максимума (4.7 эв), а также появление на кривой σ сплава 67.5% Ni — 32, 5% Cr максимума, характерного для чистого хрома, позволяет предположить, что хром образует виртуальные энергетические состояния [13, 14], лежащие ниже уровня Ферми. Мы считаем, что эти энергети-

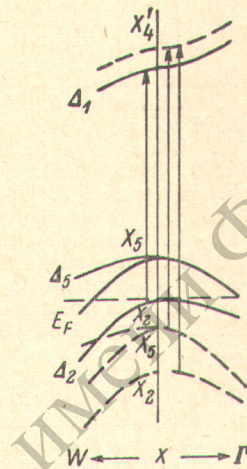


Рис. 4. Энергетические зоны ферромагнитного Ni в окрестности точки X зоны Бриллюэна.

Сплошными линиями показаны подзоны левых (\downarrow), а штриховыми — правых (\uparrow) спинов.

ческие состояния ответственны за оптическое поглощение для энергий фотонов около 2 эв. При увеличении концентрации хрома в сплавах должны все более рельефно проявляться переходы с виртуального энергетического состояния. Действительно, аномалия при 2.0 эв очень четко проявляется в сплаве с содержанием 32.5% хрома. Однако остается непонятным отсутствие такой особенности в сплавах с содержанием хрома 8 и 15%. Возможно, она маскируется фоном свободных электронов, который в этой области спектра довольно значительный.

Таким образом, в сплавах никель—хром при малых концентрациях хрома (до 5%) образуется единая *ds*-полоса проводимости, а при дальнейшем увеличении концентрации хрома образуются виртуальные связанные состояния, лежащие примерно на 2 эв ниже уровня Ферми.

Литература

- [1] John W. D. Connolly. Phys. Rev., *159*, 415, 1967.
- [2] S. Wakoh, J. Yamashita. J. Phys. Soc. Japan, *19*, 1342, 1964.
- [3] L. Hodges, H. Ehrenreich, N. D. Lang. Phys. Rev., *152*, 505, 1966.
- [4] H. Ehrenreich, H. R. Philipp, D. J. Olechna. Phys. Rev., *131*, 2469, 1963.
- [5] J. Hanus, J. Feinleib, W. J. Scouler. J. Appl. Phys., *39*, 1272, 1968.
- [6] H.-E. Schmidt, R. E. Hummel. Zs. Metall., *52*, 337, 1961.
- [7] J. R. Beattie. Phil. Mag., *46*, 235, 1955.
- [8] S. Roberts. Phys. Rev., *114*, 104, 1959.
- [9] М. М. Кириллова, М. М. Носков. ФММ, *26*, 952, 1968.
- [10] C. E. McCain, K. Schröder. J. Phys. and Chem. Solids, *31*, 878, 19.
- [11] А. Е. Вол. Строение и свойства двойных металлических систем, т. 2. ГИФМЛ, М., 1962.
- [12] C. A. Немнов. ФММ, *24*, 1016, 1967.
- [13] J. Friedel. Proc. Phys. Soc., *B65*, 769, 1952.
- [14] P. W. Anderson. Phys. Rev., *124*, 41, 1961.
- [15] J. C. Phillips. J. Appl. Phys., *39*, 755, 1968.

Поступило в Редакцию 21 марта 1972 г.